



مجله علوم و صنایع غذایی ایران

سایت مجله: www.fsct.modares.ac.ir

مقاله علمی-پژوهشی

تأثیر زمان و نوع آنزیم بر ویژگی‌های ساختاری و آنتیاکسیدانی پیتیدهای زیست فعال حاصل از پروتئین لوبيا سفید (*Phaseolus vulgaris L.*)

نازیلا زینالی نامدار¹، لیلا روفه‌گری نژاد^{2*}، آیناز علیزاده²، سید مهدی جعفری³، نارملا آصفی²

- 1- دانشجوی دکتری تخصصی گروه علوم و صنایع غذایی، واحد تبریز، دانشگاه آزاد اسلامی، تبریز، ایران.
2- دانشیار گروه علوم و صنایع غذایی، واحد تبریز، دانشگاه آزاد اسلامی، تبریز، ایران.
3- استاد گروه علوم و صنایع غذایی، دانشگاه علوم کشاورزی و منابع طبیعی گرگان، گرگان، ایران.

چکیده

اطلاعات مقاله

تاریخ های مقاله :

تاریخ دریافت: 1400/10/22

تاریخ پذیرش: 1401/01/15

در این تحقیق، تأثیر نوع آنزیم (آلکالاز و پیپسین) و زمان فرآیند (50-300 دقیقه) بر درجه هیدرولیز و شاخص‌های آنتیاکسیدانی شامل مهار رادیکال آزاد ABTS، DPPH هیدروکسیل، قدرت احیاء‌کنندگی، و شلاته‌کنندگی یون‌های آهن و مس پروتئین لوبيا سفید ارزیابی شدند. همچنین، ترکیب اسیدهای آمینه (انواع اسیدهای آمینه آبگریز، آنتیاکسیدان) و ویژگی‌های ساختاری (FTIR) پروتئین اولیه و هیدرولیز شده‌ها بررسی شدند. نتایج نشان دادند که هیدرولیز آنزیمی موجب بهبود ویژگی‌های آنتیاکسیدانی می‌شود. همچنین، ترکیب اسیدهای آمینه تأثیر قابل توجهی بر ویژگی‌های آنتیاکسیدانی می‌گذارد. از سوی دیگر، نوع آنزیم و زمان فرآیند هیدرولیز بر درجه هیدرولیز و فعالیت آنتیاکسیدانی هیدرولیز شده‌ها تأثیر داشتند. بدین شکل که، بالاترین درصد مهار رادیکال آزاد (82,4%) ABTS (%58,3)، قدرت احیاء‌کنندگی (0,97)، مهار رادیکال هیدروکسیل (%57,5)، و شلاته‌کنندگی یون‌های آهن (7%) و مس (12,1%) تحت تأثیر نوع آنزیم و زمان فرآیند قرار گرفتند. در بین تیمارهای مختلف، بالاترین مقدار این شاخص‌ها (به جز شلاته‌کنندگی یون مس) مربوط به هیدرولیز شده با آنزیم آلکالاز بود. ویژگی‌های ساختاری پروتئین لوبيا سفید ارزیابی و هیدرولیز آنزیمی موجب تغییر در نواحی آمیدی (1 و 2) و همچنین در معرض قرار گرفتن برخی گروههای نهفته شد. نتایج این تحقیق حاکی از تأثیر مثبت هیدرولیز آنزیمی بر تولید هیدرولیز شده‌های با خاصیت آنتیاکسیدان با قابلیت استفاده در صنایع غذایی بودند.

کلمات کلیدی:

هیدرولیز آنزیمی،
لوبيا سفید،
فعالیت آنتیاکسیدانی،
ویژگی‌های ساختاری،
ترکیب اسیدهای آمینه.

DOI: 10.22034/FSCT.19.125.23

DOR: 20.1001.1.20088787.1401.19.125.4.3

* مسئول مکاتبات:

l.roufegari@iaut.ac.ir

فعالیت‌های مخدر مانند⁴، آنتی‌بacterیال، ضد لخته‌شدن خون، کاهنده‌گی فشار خون، کاهنده‌گی کلسترول خون⁵ فعالیت آنتی‌اکسیدانی و ضدسرطانی نام برد [2].

در بین منابع گیاهی مختلف، جویبات بعنوان منبعی غنی از پروتئین، انرژی و کربوهیدرات، فیبر، ویتامین، ترکیبات فنولی و مواد معدنی در رژیم غذایی انسان شناخته می‌شوند. جویبات با دارا بودن مقدار بالایی پروتئین (حدود 29-21%) از اهمیت بالایی برخوردارند [10]. در بین جویبات مختلف، لوبيا سفید (جایگاه ویژه‌ای در رژیم غذایی) (*Phaseolus vulgaris*) مردم دنیا برخوردار است. بطوریکه بر طبق آمار سازمان خواربار و کشاورزی مملکت متحده، تولید جهانی سالانه این محصول به بیش از 26 میلیون تن بالغ گردید. لوبيا حاوی ترکیبات زیست فعال زیادی است که نقش‌های فیزیولوژیکی بسیاری ایفا می‌کنند. همچنین برخی ترکیبات بازدارنده‌های آنزیم‌های هضم کننده پروتئین‌ها و برخی الیگوساکاریدها و برخی دیگر از ترکیبات ضدتغذیه‌ای مانند فیتیک اسید، لکتین و تانین‌ها در ترکیب آنها وجود دارند [11].

با در نظر گرفتن مزایا و اهمیت تولید پیتیدهای زیست فعال به استخراج پروتئین از لوبيا سفید، (2) هیدرولیز آنزیمی پروتئین استخراج شده با آنزیم‌های آکلالاز و پیسین، (3) ارزیابی ترکیب اسیدهای آمینه پروتئین و هیدرولیز شده‌ها، (4) بررسی تاثیر نوع آنزیم و زمان هیدرولیز بر درجه هیدرولیز، شاخص‌های آنتی‌اکسیدانی شامل مهار رادیکال‌های آزاد ABTS، DPPH، هیدرولکسیل، قدرت احیاء‌کنندگی و شلاقه کنندگی یون‌های آهن و مس، و در نهایت (4) ارزیابی ویژگی‌های ساختاری پروتئین اولیه و هیدرولیز شده‌های حاصل با روش طیف سنجی مادون قرمز تبدیل فوریه (FTIR) بودند.

2- مواد و روش‌ها

2-1-2- مواد مورد استفاده

لوبيا سفید از بازار محلی خریداری شد. کلیه مواد شیمیایی شامل، آکلالاز، پیسین، اسید تری‌کلرواستیک (TCA)، کوماسی بلسو (G250)، ABTS، DPPH، پتاسیم‌پرسولفات، ترولوکس، پتاسیم فری‌سیانید، فریک کلراید، آلفا-دادکسی

1- مقدمه

در سالیان اخیر، رشد روز افزون بیماری‌های قلبی عروقی، دیابت، انواع سرطان‌ها و اختلالات ناشی از تغذیه نامناسب موجب شده تا محققان بیشتر بر اهمیت استفاده از منابع غذایی سالم و ترکیبات زیست فعل متمرکز شوند. در این بین، یکی از عوامل مهم و محرک بر فساد محصولات غذایی و بروز انواع بیماری‌ها، رادیکال‌های آزاد هستند [1]. بنابراین با توجه به خطرات بالقوه استفاده از آنتی‌اکسیدان‌های سنتزی، تحقیقات زیادی در خصوص استفاده از ترکیبات زیست فعل سلامتی‌بخشن با فعالیت آنتی‌اکسیدانی و از منابع طبیعی در حال انجام هستند. مواد زیست فعل به دو دسته مولکول‌ها (ویتامین‌ها، اسیدهای چرب، کاروتونوئیدها، استروول‌های گیاهی، پلی‌فنول‌ها، اسیدهای آمینه، پیتید و پروتئین‌ها) و سلول‌های زنده (پروپیوتیک‌ها) تقسیم می‌شوند [2]. بخشی از این ترکیبات، مواد لبیدی زیست فعل هستند. مهم‌ترین ترکیبات لبیدی زیست فعل که باستی به غذاها افزوده شوند شامل اسیدهای چرب، کاروتونوئیدها، استروول‌ها و ترکیبات آنتی‌اکسیدان (توکوفرول و پلی‌فنول‌ها) و ویتامین‌های محلول در چربی (نظیر A و D) هستند [3].

یکی از مهمترین منابع طبیعی تولید ترکیبات زیست فعل، پروتئین‌ها و پیتیدها هستند. اما این ترکیبات نیز به دلیل ناپایداری در شرایط مختلف حرارتی و اسیدی، دناتوراسیون و رسوب از کارایی چندانی بصورت طبیعی برخوردار نیستند [2]. بنابراین، تحقیقات متعددی بر اصلاح ساختاری پروتئین‌ها با استفاده از آنزیم‌ها و تولید پیتیدهای زیست فعل متمرکز شده‌اند. این پیتیدها، بخش‌های پروتئینی خاصی هستند که به سه روش سنتز شیمیایی، تخمیر میکروبی و هیدرولیز آنزیمی تولید شده دارای 2-20 آمینواسید و جرم مولکولیانها کمتر از 6000 دالتون می‌باشد، بر حسب نوع و توالی آمینواسیدی خود، تأثیر مثبتی بر عملکرد و شرایط بدن و در نتیجه سلامت فرد دارند [4]. از این مطالعات میتوان به تولید پیتیدهای آنتی‌اکسیدان از ژل رویال [5]، آرد هسته خرما [4]، کازائین [6]، بزرک [7]، پروتئین ماش [8] و بادام زمینی [9]، اشاره کرد. از مهمترین ویژگی‌های سلامتی‌بخشن این پیتیدها می‌توان به هضم پذیری بالا و آنرژی‌زایی و سمیت پائین، ایمن‌سازی

1. Probiotics

2. Royal jelly

3. Immunomodulatory

4. Opiate-like

5. Hypocholesterolemic

زمان استفاده در دمای 20- درجه سانتی گراد نگهداری گردید [6].

4-2- ترکیب اسیدهای آmine

ترکیب آmine اسیدی هیدرولیز شده با استفاده از روش آلاشی و همکاران [23] و با دستگاه HPLC مجهز به ستون با فاز معکوس (Novapack C18, 4μm, Waters, Milford, MA) تعیین گردید. در ابتدا هر یک از هیدرولیز شده با بمدت 24 ساعت در اسید کلریدریک 6 نرمال در دمای 110 درجه سانتی گراد هضم شد. تعیین اسیدهای آmine آزاد نیز پس از انحلال هر یک از هیدرولیز شده در آب دوبار تقطیر انجام گرفت.

5-2- تعیین درجه هیدرولیز

سوسپانسیون هیدرولیز شده و اسید تری کلرواستیک 0/5 مولار در نسبت حجمی 1:1 محلول و به مدت 10 دقیقه در دمای 4 درجه سانتی گراد انکوبه شد. سپس، محلول در 4000rpm و به مدت 10 دقیقه سانتریفوژ شد. مقدار پروتئین موجود در سوپرناتانت حاوی اسید تری کلرواستیک 0/22 مولار با روش بردهورد [13] تعیین گردید. در نهایت، درجه هیدرولیز با استفاده از فرمول شماره 1، در زیر تعیین شد:

(1)

$$\text{DH} (\%) = \frac{\text{Protein(TCA+Supernatant)/Protein(Casein hydrolysate suspension)}}{0/22} \times 100$$

6- ویژگی های آنتی اکسیدانی

1-6-2- فعالیت مهار رادیکال آزاد

درصد مهار رادیکال آزاد DPPH با استفاده از روش و همکاران [14] با کمی اصلاحات تعیین گردید. ابتدا پودرهای هیدرولیز شده در آب مقطر (اگلاظت 40 میلی گرم در 1/5 میلی لیتر) حل شدند. سپس، 1/5 میلی لیتر از هر نمونه با 0/15 (DPPH) میلی مولار (0/15 میلی مولار) محلول میلی لیتر از محلول اتانولی در 20 ثانیه عمل ورتكس انجام شد. سپس، محلول حاصل در 20 دقیقه در تاریکی نگهداری شد. جذب محلول رویی در طول موج 517 نانومتر خوانده شد. درصد مهار رادیکال DPPH با استفاده از فرمول زیر محاسبه گردید:

$$\text{I} (\%) = [\text{A}_{\text{blank}} - \text{A}_{\text{sample}} / \text{A}_{\text{blank}}] \times 100 \quad (2)$$

ربوز، سولفات آهن، EDTA، پراکسید هیدروژن، دی کلرید آهن، فروزین، سولفات مس، پیریدین، پیروکاتکول ویولت، توین 20 اسید اسکوربیک، اسید تیوباریتوريک (TBA)، سدیم دودسیل سولفات (SDS) (از شرکت سیگما خریداری شدن)، اتانول، سود، اسید کلریدریک، پتاسیم کلراید، پتاسیم دی هیدروژن فسفات و اسید فسفریک (از شرکت مرک، آلمان) تهیه شدند.

2-2- استخراج پروتئین

دانه های لوبيا به وسیله آسياب پودر شدند. سپس با هگزان در نسبت 1 به 5 وزني-حجمي به مدت 3 ساعت چربی زداني شدند. پس از حذف هگزان، پودر به نسبت 10:1 با محلول 0/33 مولار کلرید سدیم، pH=9/25 محلول شده و به مدت 2 ساعت همزده شد و سپس محلول حاصل در 4500g به مدت 30 دقیقه سانتریفوژ شد. در مرحله بعد pH سوپرناتانت در 5 pH (pH=4/5 ايزو الکتریک پروتئین) تنظیم گردید. سپس در جهت رسوب پروتئین ها، محلول حاصل در 4500g به مدت 20 دقیقه سانتریفوژ شد. در ادامه رسوب پروتئین با آب مقطر دو بار شسته شده و در 4500g به مدت 5 دقیقه سانتریفوژ گردید و با تنظیم pH=7/2 با افزودن هیدروکسید سدیم 1 مولار، دوباره به حالت محلول تبدیل شد. سپس ايزوله پروتئین حاصل با فریز درایر خشک شده و در دمای 4 درجه سانتی گراد نگهداری شد. تمامی فرآیندها در دمای اتاق انجام گردید [12].

3-2- هیدرولیز آنزیمی

بروتئین لوبيا سفید در غلظت (W/V) 5% در بافر فسفات 0/2M مولار (pH=8) به مدت 30 دقیقه حل شد. سپس آنزیم های آکالاز و پپسین در نسبت آنزیم به سوبسترا (W/W) 2% به محلول اضافه شدند. دما و pH برای آکالاز (50 درجه سانتی گراد، pH=8,5) و پپسین (30 درجه سانتی گراد، pH=2) در شرایط بهینه عمل کرد آنها در نظر گرفته شدند. مدت زمان واکنش بین 50 تا 300 دقیقه متغیر و پس از اتمام فرآیند هیدرولیز در هر بازه زمانی، برای غیرفعال کردن واکنش و فعالیت آنزیم، محیط واکنش در حمام آب 90 درجه سانتی گراد به مدت 15 min فرار داده شد. پس از آن، محلول تا دمای محیط خنک گردید. محلول در دور 5000 rpm به مدت 10min سانتریفوژ شد. سوپرناتانت جدا، لیوفیلیزه و تا

مخلوط واکنش نشان دهنده افزایش قدرت احیاء‌کنندگی است [16].

4-6-2- فعالیت مهار رادیکال هیدروکسیل

فعالیت مهار رادیکال هیدروکسیل با استفاده از اکسیداسیون 2-داکسی ریبوز بربطیق روش جامدار و همکاران [9] تعیین شد. برای این آزمون، 0/2 میلی‌لیتر از مخلوط 10 میلی‌مولار (FeSO₄-EDTA) 0/5 میلی‌لیتر (10 میلی‌مولار) آلفا-داکسی ریبوز، 0/2 میلی‌لیتر نمونه هیدرولیز شده، 0/9 میلی‌لیتر سدیم فسفات بافر 0/2 مولار (pH 7.4) و 0/2 میلی‌لیتر پراکسید هیدروژن (10 میلی‌مولار) با هم مخلوط شدند. مخلوط در 37 درجه سانتی گراد برای 1 ساعت انکوبه شد. سپس، 1 میلی‌لیتر اسید توباریوتوریک 2/8 درصدو 1 میلی‌لیتر (TCA) در مدت 16-12 ساعت قبل از مصرف قرار داده شد. در این مدت، اکسیداسیون و تولید رادیکال ABTS⁺ بهوسیله پتانسیم پرسولفات انجام گرفت. قبل از آزمون، محلول ABTS⁺ با استفاده از (pH 0/27.4 مولار) PBS تا جذب 0/7 ± 0/02 در 734 نانومتر رقیق شد. سپس 40 میکرولیتر از هر نمونه (با غلظت 4 میلی‌گرم در میلی‌لیتر) به 4 میلی‌لیتر محلول رقیق شده ABTS⁺ افزوده شد. مخلوط برای 30 ثانیه بهشدت هم‌زده شد و به مدت 6 دقیقه در تاریکی قرار داده شد. جذب محلول نهایی ABTS⁺ در 734 نانومتر اندازه‌گیری شد. درصد مهار رادیکال نمونه‌ها بر اساس معادله زیر محاسبه گردید.

در اینجا A_{blank} جذب کنترل (حجم یکسانی از آب مقطر به جای محلول نمونه با محلول DPPH مخلوط می‌شود) A_{sample} جذب نمونه می‌باشند.

2-6-2- فعالیت مهار رادیکال ABTS

فعالیت مهار رادیکال ABTS بودرهای هیدرولیز شده با استفاده از روش تشریح شده توسط یو و همکاران [15] با کمی اصلاحات تعیین گردید. محلول رادیکال ABTS⁺ با ترکیب نسبت حجمی یکسانی از ABTS در غلظت 7 میلی‌مولار و 2/45 میلی‌مولار پتانسیم پرسولفات تهیه گردید. مخلوط در تاریکی و در دمای محیط به مدت 12-16 ساعت قبل از مصرف قرار داده شد. در این مدت، اکسیداسیون و تولید رادیکال ABTS⁺ بهوسیله پتانسیم پرسولفات انجام گرفت. قبل از آزمون، محلول ABTS⁺ با استفاده از (pH 0/27.4 مولار) PBS تا جذب 0/7 ± 0/02 در 734 نانومتر رقیق شد. سپس 40 میکرولیتر از هر نمونه (با غلظت 4 میلی‌گرم در میلی‌لیتر) به 4 میلی‌لیتر محلول رقیق شده ABTS⁺ افزوده شد. مخلوط برای 30 ثانیه بهشدت هم‌زده شد و به مدت 6 دقیقه در تاریکی قرار داده شد. جذب محلول نهایی ABTS⁺ در 734 نانومتر اندازه‌گیری شد. درصد مهار رادیکال نمونه‌ها بر اساس معادله زیر محاسبه گردید.

$$\text{AA} (\%) = [\text{A}_{\text{blank}} - \text{A}_{\text{sample}} / \text{A}_{\text{blank}}] \times 100 \quad (3)$$

در اینجا، A_{blank} (جذب نمونه کنترل فاقد ترکیب فعل) و A_{sample} (جذب نمونه کازئین هیدرولیز شده) هستند.

3-6-2- تعیین قدرت احیاء‌کنندگی

برای تعیین قدرت احیاء‌کنندگی نمونه‌های هیدرولیز شده، 0/5ml نمونه حل شده در آب مقطر (در غلظت 40 میلی‌گرم در میلی‌لیتر) با 0/5 میلی‌لیتر بافر فسفات 0/2 مولار (pH 6.6) و 0/5 میلی‌لیتر پتانسیم فری‌سیانید در صدو زنی-حجمی مخلوط و در دمای 50 درجه سانتی گراد برای 20 دقیقه انکوبه شد. سپس، 0/5 میلی‌لیتر محلول اسید تری‌کلرو‌استیک 10 درصد به مخلوط اضافه و به مدت 10 دقیقه در 2500rpm سانتریفیوژ شد. در نهایت، 1 میلی‌لیتر سوپرناتانت با 1 میلی‌لیتر آب مقطر و 0/2 میلی‌لیتر فریک کلراید 0/1 در صدو زنی-حجمی مخلوط گردید. جذب نمونه در 700 نانومتر پس از 10 دقیقه نگهداری مخلوط در دمای محیط، قرائت شد. حجم یکسانی آب مقطر به جای نمونه برای تهیه نمونه کنترل استفاده شد. افزایش جذب

فعالیت شلاته‌کنندگی یون آهن بر طبق روش اکبریگلو و همکاران [7] اندازه‌گیری شد. ابتدا، 1 میلی‌لیتر نمونه حل شده در آب مقطر (در غلظت 40 میلی‌گرم در میلی‌لیتر) با 0/05 میلی‌لیتر محلول دی‌کلرید آهن (2 میلی‌مولار) و 1/85 میلی‌لیتر آب دوبار تقطیر مخلوط شد. سپس 0/1 میلی‌لیتر محلول فروزن (5 میلی‌مولار) افزوده و مخلوط بهشده در دمای محیط در 562 نانومتر خوانده شد. از آب دوبار تقطیر به عنوان نمونه کنترل استفاده شد.

6-2- فعالیت شلاته‌کنندگی یون مس

فعالیت شلاته‌کنندگی یون مس پروتئین‌های هیدرولیز شده با استفاده از روش کانگ و ژیانگ [17] اندازه‌گیری شد. در ابتدا، 1 میلی‌لیتر محلول 0/2 میلی‌مولار سولفات مس با 1 میلی‌لیتر هیدرولیز شده در فالکون 15 میلی‌لیتر مخلوط و برای 5 دقیقه در دمای اتاق انکوبه شد. سپس، 1 میلی‌لیتر محلول اسید تری‌کلرو‌استیک 11/3 درصد افزوده و نمونه‌ها در 2500rpm برای 10 دقیقه سانتریفیوژ شدند. پس از آن، 2 میلی‌لیتر از سوپرناتانت به 1 میلی‌لیتر محلول 10% پیریدین و 20 میکرولیتر پیروکاتکول ویولت افزوده و مخلوط ورتكس و

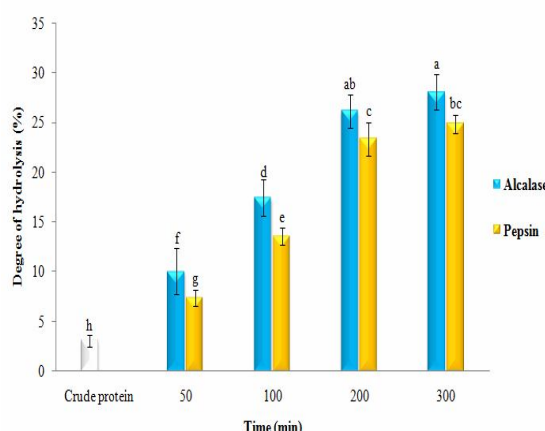


Fig 1 Effect of hydrolysis time and enzyme type on the degree of hydrolysis of navy bean protein. The values represents mean of three independent experiment \pm S.D.

این یافته را می‌توان به افزایش عملکرد آنزیم در دسترسی و فعالیت بیشتر بر سوپرسترا در زمان ثابت و هیدرولیز پروتئین‌های اولیه، شکست بیشتر زنجیره‌ها، افزایش آمینواسیدها و تولید پیتیدهای کوچکتر نسبت داد [15] در تحقیقی، یو و همکاران [18] اثر زمان فرآیند هیدرولیز با آنزیم‌های پاپائین و پرتامکس را بر درجه هیدرولیز و ویژگی‌های آنتی‌اکسیدانی پروتئین‌های هیدرولیز شده ماهی تیان² بررسی کردند. آن‌ها گزارش کردند که با افزایش زمان فرآیند از 2 به 4 و سپس 6 ساعت، درجه هیدرولیز نمونه‌ها به ترتیب از 18 درصد به 23 و 28 درصد افزایش یافت.

2-3- ترکیب اسیدهای آمینه

فعالیت‌های بیولوژیکی و عملکردی پیتیدهای زیست‌فعال تحت تاثیر درجه هیدرولیز، وزن مولکولی و ترکیب آمینواسیدی کل و آزاد (بویژه انواع آنتی‌اکسیدان) آنها قرار می‌گیرند [7]. جدول 1، ترکیب اسیدهای آمینه پروتئین لوپیسا سفید و هیدرولیزشده‌ها با آکالاز و پیپسین را نشان می‌دهد. اسیدهای آمینه گلوتامیک، آسپارتیک، آرژنین، گلیسین، سیسین، پروولین، آلانین، والین و لوسین بیشترین ترکیب آمینواسیدی پروتئین و هیدرولیزشده‌ها را تشکیل می‌دهند. از سوی دیگر، مقدار اسیدهای آمینه آبگریز و آنتی‌اکسیدان در هیدرولیزشده با آکالاز بیش از نوع پیپسین و پروتئین اولیه است. همچنین، مقداری بالای آمینواسیدهای لیزین و لوسین در هیدرولیزشده‌ها منجر به افزایش فعالیت مهار رادیکال‌های

برای 5 دقیقه در دمای اتاق انکوبه شد. جذب نمونه‌ها در 632 نانومتر خوانده و فعالیت شلاته‌کنندگی یون مس با استفاده از معادله 3 تعیین گردید.

7-2- طیف سنجی فروسرخ (FTIR)

ارزیابی ساختار شیمیایی پروتئین و هیدرولیزشده‌ها با دستگاه Shimadzu 8400 FTIR مدل FTIR انجامشده. پروتئین اولیه و هیدرولیزشده‌ها هر کدام جداگانه با نسبت 100:1 با برومید پتاسیم (KBr) مخلوط شدند و با دستگاه پرس بشکل دیسک¹ در آمدند. در نهایت طیف سنجی FTIR از نمونه‌ها در فرکانس 4000 to 400 cm⁻¹ انجام شد.

2-8- تجزیه و تحلیل آماری

در پژوهش حاضر، اثر نوع آنزیم (آکالاز و پیپسین) در زمان‌های مختلف (0، 200، 300، 100 و 50 دقیقه) بر درجه هیدرولیز و شاخص‌های آنتی‌اکسیدانی مختلف با کاربرد آنالیز واریانس و استفاده از نرم افزار SPSS نسخه 19 مورد ارزیابی قرار گرفتند تا فاکتورهای مؤثر از لحاظ آماری شناسایی شوند و مقایسه میانگین‌ها با استفاده از آزمون چند دامنه‌ای دانکن جهت بررسی معنی دار بودن اثر متغیرها در ($P < 0.05$) انجام گردید.

3- نتایج و بحث

1-3- تعیین درجه هیدرولیز

درجه هیدرولیز یکی از مهمترین شاخص‌های تعیین کننده وزن مولکولی، ترکیب آمینواسیدی، فعالیت بیولوژیکی و ویژگی‌های طعمی پیتیدهاست [9]. در این تحقیق، مقدار درجه هیدرولیز تحت تاثیر نوع آنزیم و به ویژه زمان فرآیند هیدرولیز آنزیمی قرار گرفت ($P < 0.05$). نتایج نشان دادند که با افزایش زمان هیدرولیز از 50 به 300 دقیقه، درجه هیدرولیز نمونه‌های هیدرولیز شده با آکالاز و پیپسین به ترتیب از 10 به 28% و از 7 به 24% افزایش یافت. این نتایج همچنین حاکی از فعالیت بیشتر آکالاز در شکست پیوندهای پیتیدی و افزایش مقدار این شاخص بودند.

این نتایج حاکی از تاثیر قابل ملاحظه هیدرولیز آنزیمی بر تولید پپتیدهایی با فعالیت مهار رادیکال آزاد DPPH بودند. بطورمثال، تنها 50 دقیقه هیدرولیز پروتئین لوبيا با آکلاز موجب افزایش مقدار این شاخص از حدود 50 به 76 درصد گردید ($P<0.05$). روند افزایشی این شاخص تا 200 دقیقه هیدرولیز نیز ادامه یافت. اما هیدرولیز آنزیمی بیش از این مقدار، تاثیری بر فعالیت پپتیدها در مهار این رادیکال نداشت. عوامل مختلفی بر فعالیت مهار رادیکال آزاد DPPH موثر هستند که از مهم‌ترین آن‌ها می‌توان به زمان فرآیند، درجه هیدرولیز و عملکرد هر آنزیم بر تولید پپتیدهای فعال و رهایش آسیدهای آمینه آنتی‌اکسیدان لیپوفیل اشاره کرد. در مورد اثر زمان فرآیند و در نتیجه درجه هیدرولیز، افزایش زمان فرآیند هیدرولیز با افزایش درجه هیدرولیز و رهایش بیشتر پپتیدها و آمینواسیدهای هیدروفوب و فعال موجب افزایش فعالیت آنتی‌اکسیدانی نمونه‌ها می‌گردد [9]. همچنین، نتایج دیگری در خصوص افزایش مهار رادیکال DPPH در نتیجه افزایش غلظت و تاثیر نوع آنزیم در هیدرولیزدهای دانه کاملیا [21] و پروتئین ماش [22] گزارش شدند.

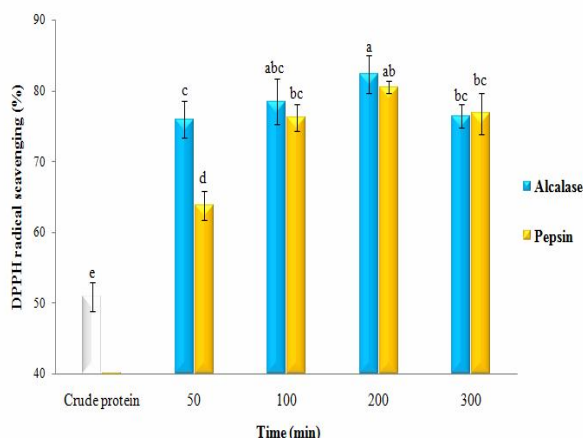


Fig 2 Effect of hydrolysis time and enzyme type on DPPH radical scavenging of navy bean protein. The values represents mean of three independent experiment \pm S.D.

2-3-3- مهار رادیکال ABTS

ارزیابی فعالیت مهار رادیکال کاتیونی ABTS با قابلیت استفاده در هر دو نوع ترکیبات هیدروفیل و لیپوفیل به طور گستردۀ به عنوان یک آزمون فعالیت آنتی‌اکسیدانی مورد استفاده قرار می‌گیرد. نتایج این تحقیق نیز حاکی از تاثیر قابل ملاحظه نوع آنزیم و زمان هیدرولیز بر مقدار این شاخص بودند (شکل 3).

سوپراکسید می‌شوند [19]. در تحقیق دیگری، ترکیب آمینواسیدهای آزاد و کل در فراکسیون‌های پپتیدی (کمتر از 5 کیلودلتون) هیدرولیز شده پروتئین کاد¹ بررسی شدند. در آن تحقیق بیشترین مقدار آمینواسیدهای آزاد و آنتی‌اکسیدان بویژه انوع قطبی (هیستدین، متیونین، آلانین) و غیرقطبی (لوسین و ایزولوسین) در فراکسیون با وزن مولکولی کمتر از 3kDa مشاهده شدند [20].

Table 1 Amino acid composition of navy bean protein and its hydrolysates with alcalase and pepsin (mg/g)

H-Pe	H-Al	Crude protein	Amino acid
89.1	86.9	85.3	Aspartic
108.4	106.3	104.5	Glutamic
22.1	23.7	21.2	Histidine
41.5	40.1	46.3	Serine
37.2	38.6	40.7	Arginine
28.4	29.7	28.1	Glycine
37.8	36.4	35.3	Threonine
29.9	31.2	30.2	Alanine
32.7	35.6	31.5	Tyrosine
9.1	9.2	8.9	Methionine
40.2	39.1	40.6	Valine
79.6	77.9	80.2	Cysteine
35.7	34.3	35.3	Proline
46.2	47.3	44.8	Phenylalanine
37.4	37.9	36.4	Isoleucine
67.2	65.2	64.9	Leucine
47.9	50.2	47.3	Lysine
6.8	8.9	6.3	Tryptophan
305.2	308.7	298.2	HAA
118.6	127.6	115.2	AAA
799.2	798.5	787.8	TAA

Hydrophobic amino acids (HAA) = Ala, Val, Ile, Leu, Tyr, Phe, Trp, Pro and Met; Antioxidant amino acids (AAA) = Trp, Met, His, Tyr and Lys; Total amino acids (TAA).

3-3- فعالیت آنتی‌اکسیدانی

1-3-3- مهار رادیکال DPPH

با توجه به اهمیت این شاخص در مطالعات مختلف، رادیکال آزاد DPPH به طور گستردۀ برای ارزیابی فعالیت آنتی‌اکسیدانی ترکیبات مختلف احیاء‌کننده به کار می‌رود [18]. نتایج حاصل از ارزیابی اثر زمان هیدرولیز آنزیمی بر درصد مهار رادیکال آزاد DPPH مورد بررسی قرار گرفت (شکل 2).

1. cod protein hydrolysates

فعالیت آنتیاکسیدانی پپتیدها و دیگر ترکیبات آنتیاکسیدان است. شکل 4 تاثیر نوع آنزیم و زمان فرآیند بر قدرت احیاءکنندگی پروتئین لوبيا سفید را نشان می‌دهد. همانطور که از این شکل مشخص است، مقدار این شاخص با افزایش زمان هیدرولیز آنزیمی افزایش یافت. بطور مثال، 300 دقیقه هیدرولیز با آکالاز منجر به افزایش قدرت احیاءکنندگی پروتئین از حدود 0,3 به 0,98 شد. همچنین مقدار این شاخص برای هیدرولیز شده با آکالاز بیش از نمونه هیدرولیز شده با پسین (0,83) بود.

افزایش قدرت احیاءکنندگی را میتوان به رهایش آمینواسیدهای آنتیاکسیدان آزاد (مانند تیروزین، تریپتوفان، هیستیدین، متیونین و لیزین) پس از هیدرولیز آنزیمی و افزایش غلظت آنها در فرآکسیونهای با وزن مولکولی پائین نسبت داد [7]. در پژوهش مشابهی، اثر هیدرولیز آنزیمی بر قدرت آنتیاکسیدانی پروتئینهای هیدرولیز شده تیان‌بررسی گردید. بالاترین قدرت احیاءکنندگی (1,17) در نمونه‌های هیدرولیز شده با پانکراتین و با بالاترین درجه هیدرولیز (%33) مشاهده شد [18].

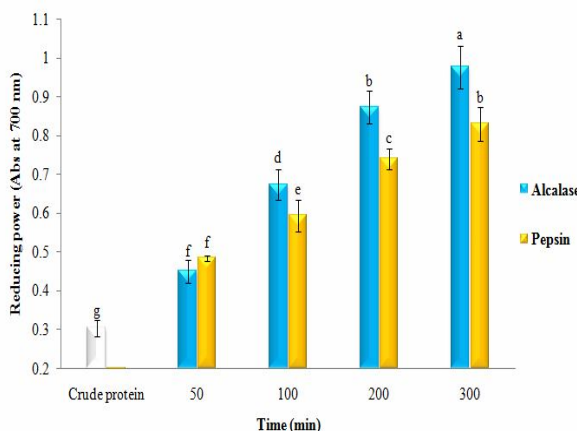


Fig 4 Effect of hydrolysis time and enzyme type on reducing power of navy bean protein. The values represents mean of three independent experiment \pm S.D.

4-3-3- مهار رادیکال هیدروکسیل

رادیکال هیدروکسیل، فعالترین رادیکال آزاد در سیستم بیولوژیکی (یجاد اختلالات فیزیولوژیکی از طریق واکنش با مولکول‌های زیستی مانند آمینواسیدها و DNA) و اغازگر² پراکسیداسیون لبیدهای است [1]. مقدار این شاخص نیز پس از هیدرولیز آنزیمی پروتئین لوبيا به شکل قابل توجهی بهبود

بطور مثال، 300 دقیقه هیدرولیز آنزیمی پروتئین لوبيا با آکالاز و پسین منجر به افزایش قدرت احیاءکنندگی رادیکال ABTS از حدود 36% به ترتیب به حدود 58% و 52% شد. در بین تیمارهای مختلف نیز نمونه هیدرولیز شده با آکالاز از قدرت آنتیاکسیدانی بالاتری برخوردار بود ($P < 0.05$). با توجه به این که تفاوت کاملی از لحاظ نوع حلالیت بین رادیکال‌های DPPH (محلول در چربی) و ABTS (محلول در آب) وجود دارد؛ لذا نوع ترکیب آسید‌آمینه‌ای بر مهار هر یک از این رادیکال‌ها موثر هستند. بنابراین علت این تغییرات را می‌توان به افزایش رهایش آمینواسیدهای هیدرووفوب و کاهش دسترسی آنتیاکسیدان‌های هیدروفیل برای واکنش با رادیکال ABTS نسبت داد [18]. در تحقیق مشابهی، الاشی و همکاران [23] هیدرولیز پروتئین تفاله کانولارا انجام دادند. آن‌ها افزایش 4-6 برابری مهار رادیکال ABTS را پس از هیدرولیز آنزیمی پروتئین کانولا گزارش کردند. در بین آن‌مهای مختلف، آکالاز و کیموتریپسین فعالیت بیشتری در مهار رادیکال ABTS نسبت به پانکراتین، پسین و تریپسین نشان دادند. آنها علت این یافته را به رهایش بیشتر ترکیبات آنتیاکسیدان واکنش‌پذیر با رادیکال‌های آزاد ABTS نسبت دادند [23].

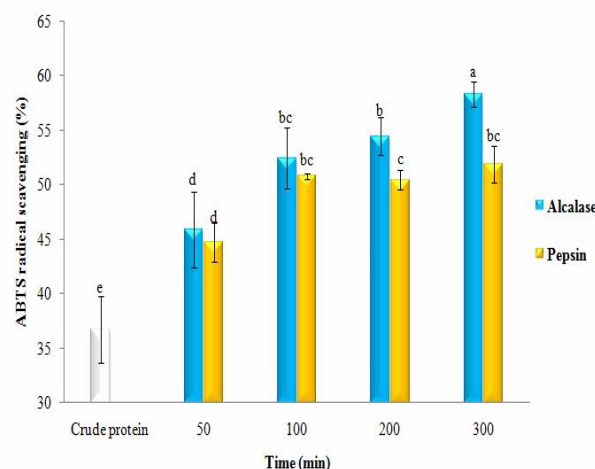


Fig 3 Effect of hydrolysis time and enzyme type on DPPH radical scavenging of navy bean protein. The values represents mean of three independent experiment \pm S.D.

3-3-3- قدرت احیاءکنندگی

یکی از مهمترین ویژگی‌های آنتیاکسیدان‌ها در نمونه‌های غذایی، احیاء کمپلکس فری‌سیانید (Fe^{3+}) به شکل فروس (Fe^{2+}) است [1]. قدرت احیاءکنندگی یکی از شاخص‌های نشان‌دهنده

1. Loachprotein hydrolysates
2. initiator

غذایی عمل می‌کنند [24]. نتایج این تحقیق حاکی از تاثیر فرآیند هیدرولیز آنزیمی بر تولید پپتیدهایی با قابلیت مهار یون آهن بودند (شکل 6). بدین شکل که فعالیت شلاته‌کنندگی یون‌های فلزی آهن در پروتئین لوبیا پس از هیدرولیز آنزیمی با آکالاز و پپسین به ترتیب از حدود 20% به 54% و 39% پس از 300 دقیقه هیدرولیز افزایش یافت ($P<0.05$). در بین نمونه‌های مختلف، هیدرولیزشده‌های حاصل از فعالیت آنزیم آکالاز از عملکرد بهتری در بهبود میزان این شاخص برخوردار بودند. تفاوت در فعالیت شلاته‌کنندگی یون آهن را میتوان به تفاوت در عملکرد آنزیم‌ها در تولید پپتیدهایی با ترکیب آمینواسیدی یا درجه هیدرولیز متفاوت نسبت داد. بطورمثال، درجه هیدرولیز آنزیمی با رهایش آمینواسیدهای اسیدی و بازی و در نتیجه افزایش گروه‌های کربوکسیلیک و آمینو² موجب حذف³ یون‌های فلزی از سیستم می‌شود. اگرچه، هیدرولیز آنزیمی از طریق افزایش حلالیت و واکنش‌پذیری پروتئین‌ها، در فعالیت آن‌ها را تحت تاثیر قرار می‌دهد [24]. همچنین، ویژگی‌های آنتی‌اکسیدانی هیدرولیزشده‌های پروتئین سیب زمینی (در غلظتها 0,5-4 میلی‌گرم در میلی‌لیتر) با آکالاز بررسی شد و بیشترین فعالیت شلاته‌کنندگی آهن (85%) در بالاترین غلظت هیدرولیزشده بدست آمد [25].

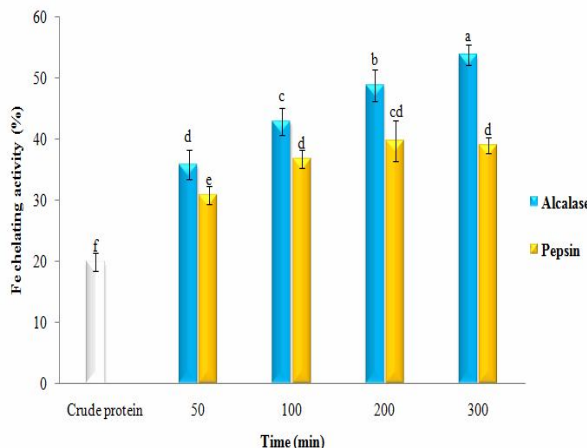


Fig. 6 Effect of hydrolysis time and enzyme type on Fe chelating activity of navy bean protein. The values represents mean of three independent experiment \pm S.D.

6-3-3- شلاته‌کنندگی یون مس

یون مس یکی از یون‌های فلزی است که نقش موثری در تشدید واکنشهای اکسیداتیو و تسریع در فساد محصولات

2. carboxylic groups and amino groups

3. remove

یافت (شکل 5). در این تحقیق، افزایش زمان هیدرولیز تا 200 دقیقه منجر به افزایش مهار رادیکال هیدروکسیل در پروتئین اولیه (%29) به حدود 57% (هیدرولیزشده با آکالاز) و 54% (هیدرولیزشده با پپسین) شد. علت این یافته را میتوان به افزایش مقدار آمینواسیدهای اروماتیک مانند هیستدین، ترپیتوфан، فنیل آلانین و تیروزین در هیدرولیزشده‌ها نسبت داد. این آمینواسیدها با قابلیت الکترون‌دهنده¹ و پروتون‌دهی² منجر به تبدیل رادیکال‌های آزاد به فرم پایدار می‌شوند [22]. علاوه بر ترکیب، مقدار آمینواسیدهای آزاد آنیز در فعالیت آنتی-اکسیدانی پپتیدها نقش موثری ایفا می‌کنند. افزایش درجه هیدرولیز و کاهش وزن مولکولی منجر به افزایش رهایش و مقدار آمینواسیدهای آزاد آروماتیک و آنتی‌اکسیدان در پپتیدها می‌شوند [6].

نتایج حاصل از این تحقیق در تطابق با یافته‌های یو و همکاران [18] است که گزارش کردند با افزایش درجه هیدرولیز از 18 به 23%， مهار رادیکال هیدروکسیل از 45/5 به 1/6 درصد افزایش یافت، اما افزایش بیشتر درجه هیدرولیز از 23 به 33% موجب کاهش درصد فعالیت مهار رادیکال هیدروکسیل گردید [18].

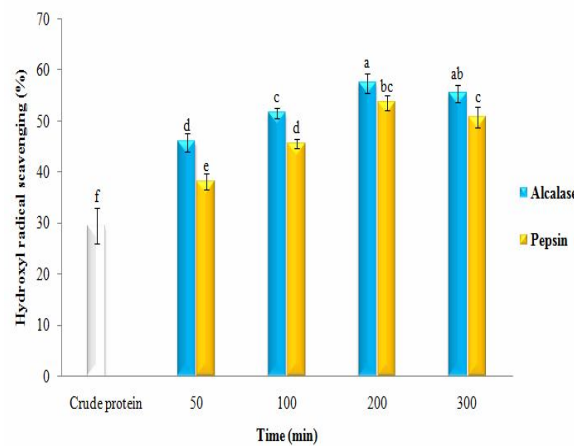


Fig. 5 Effect of hydrolysis time and enzyme type on hydroxyl radical scavenging of navy bean protein. The values represents mean of three independent experiment \pm S.D.

5-3-3- شلاته‌کنندگی یون آهن

آهن و دیگر فلزات به دلیل تسریع در روند شکست هیدروپروکسیدهای لیپیدی به رادیکال‌های آکالاز بسیار واکنش‌پذیر به عنوان پروکسیدان در بسیاری از سیستم‌های

1. electron donating

مخالف است. طیف‌های اصلی مربوط به پروتئین اولیه و پپتیدهای تولید شده با آلکالاز و پپسین عبارتند از (شکل 8): 3419 cm⁻¹ و 2928 cm⁻¹ (N-H)، 2926 cm⁻¹ و 3415 cm⁻¹ (کشش C=O)، 1639 cm⁻¹ (O-H)، 1647 cm⁻¹ (کشش N-H) مربوط به ناحیه آمید I، 1539 cm⁻¹ و 1543 cm⁻¹ (کشش C-N) و در ارتعاشات آمید II 1063 cm⁻¹ و 1052 cm⁻¹ (کشش C=O) و 621 cm⁻¹ (خمنه N-H). فرکانس‌های مشابهی در پپتیدهای حاصل از هیدرولیز آنزیمی کازتین [6] و پروتئین و هیدرولیز شده کلارن نوعیمه‌های [26] مشاهده شدند.

از نظر ارزیابی تغییرات در ساختارهای ثانویه پروتئین پس از هیدرولیز آنزیمی نیز نواحی آمیدی حائز اهمیت هستند. بررسی نواحی آمیدی 1 و 2 حاکی از بروز تغییرات در ساختار ثانویه پروتئین پس از هیدرولیز آنزیمی است. عدمه این تغییرات به ساختارهای مارپیچ آلفا (1650-1658 cm⁻¹) و رنلوم کویل‌ها (1640-1650 cm⁻¹) برمی‌گردد. همچنین تغییر و جایگایی در شدت پیک‌ها پس از هیدرولیز قابل تشخیص است. کاهش شدت پیک در ناحیه 1539-1543 cm⁻¹ مربوط به خمنه N-H و کشش C-N در ناحیه 1052 cm⁻¹ در هیدرولیز شده‌ها بدلیل تغییرات در گروه‌های NH مذکور شده درون نواحی هیدرولیز پروتئین هاست [27].

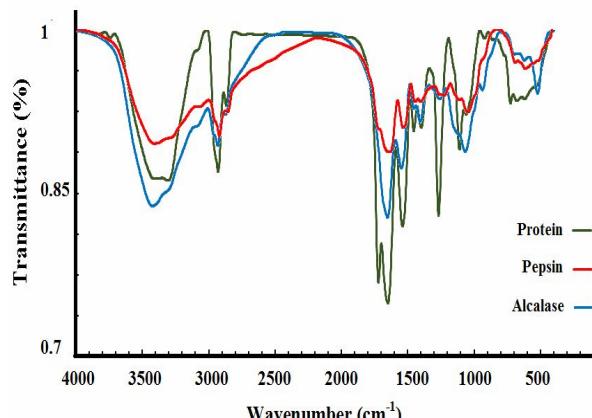


Fig 8 FTIR spectroscopy of navy bean protein and its hydrolysates.

4- نتیجه‌گیری کلی

نتایج حاصل از این مطالعه بیان کننده تاثیر و کارایی فرآیند هیدرولیز آنزیمی، زمان هیدرولیز و نوع آنزیم‌های پروتئاز بر

غذایی به ویژه انواع با چربی بالا ایفا می‌کند. بنابراین استفاده از ترکیبات آنتی‌اکسیدان با فعالیت شلاته کننده میتواند نقش موثری در پیشگیری از تاثیرات مخرب این یون‌ها داشته باشد. در این تحقیق، شلاته کننده یون‌های مس تحت تاثیر نوع آنزیم و زمان هیدرولیز قرار گرفت. با اینکه هیدرولیز آنزیمی منجر به بهبود این شاخص شد (شکل 7). اما هیدرولیز آنزیمی بیش از 200 دقیقه تاثیری بر مقدار این شاخص نشان نداد. همچنین مقدار این شاخص از حدود 3% برای پروتئین لوبيا به ترتیب به حدود 10% (هیدرولیز شده آلکالاز) و 12% (هیدرولیز شده با پپسین) در زمان 200 دقیقه افزایش یافت. تفاوت در فعالیت شلاته کننده در بین هیدرولیز شده‌ها را میتوان به تفاوت ترکیب آمینواسیدی و درجه هیدرولیز پپتیدها نسبت داد. همچنین، تفاوت در قدرت شلاته کننده یون‌های آهن و مس را می‌توان به تفاوت در تعداد نواحی فعال¹ در شلاته کردن این یون‌های فلزی نسبت داد [21]. در تحقیق مشابهی، هیدرولیز آنزیمی پروتئین پلاسمای موجب افزایش شلاته کننده یون مس از 15% به 44% شد [24]. گروه‌های ایمیدازول و کربوکسیل نیز موجب افزایش واکنش‌های الکترواستاتیک و یونی با یون‌های فلزی می‌شوند و از این طریق می‌توانند به عنوان یک ترکیب آنتی‌اکسیدان در سیستم‌های امولیسیونی و غذایی عمل کنند [7].

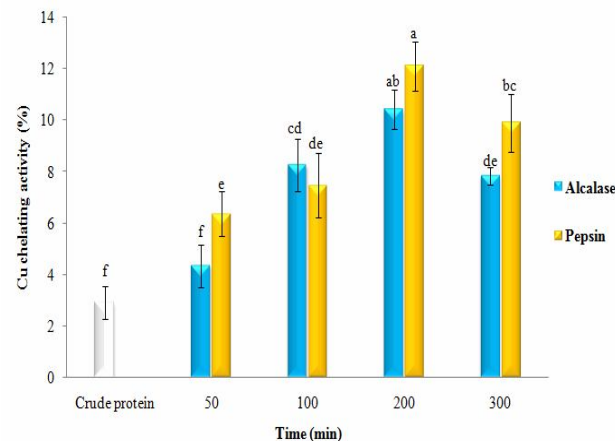


Fig 7 Effect of hydrolysis time and enzyme type on Cu chelating activity of navy bean protein. The values represents mean of three independent experiment \pm S.D.

7-3-3- ویژگی‌های ساختاری (FTIR)

اسپکتروسکوپی FTIR روشنی غیرمخرب و دقیق برای ارزیابی ترکیب شیمیایی، آرایش ساختاری و گروه‌های عاملی ترکیبات

- and microstructure properties. *Journal of Food Engineering*, 237, 86-95.
- [7] Akbarbaglu, Z., Jafari, S. M., Sarabandi, K., Mohammadi, M., Heshmati, M. K., & Pezeshki, A. (2019). Influence of spray drying encapsulation on the retention of antioxidant properties and microstructure of flaxseed protein hydrolysates. *Colloids and Surfaces B: Biointerfaces*, 178, 421-429.
- [8] Xie, J., Du, M., Shen, M., Wu, T., & Lin, L. (2019). Physico-chemical properties, antioxidant activities and angiotensin-I converting enzyme inhibitory of protein hydrolysates from Mung bean (*Vigna radiata*). *Food chemistry*, 270, 243-250.
- [9] Jamdar, S. N., Rajalakshmi, V., Pednekar, M. D., Juan, F., Yardi, V., & Sharma, A. (2010). Influence of degree of hydrolysis on functional properties, antioxidant activity and ACE inhibitory activity of peanut protein hydrolysate. *Food Chemistry*, 121(1), 178-184.
- [10] Torres, J., Rutherford, S. M., Muñoz, L. S., Peters, M., & Montoya, C. A. (2016). The impact of heating and soaking on the in vitro enzymatic hydrolysis of protein varies in different species of tropical legumes. *Food Chemistry*, 194, 377-382.
- [11] Wani, I. A., Sogi, D. S., Shivhare, U. S., & Gill, B. S. (2015). Physico-chemical and functional properties of native and hydrolyzed kidney bean (*Phaseolus vulgaris* L.) protein isolates. *Food Research International*, 76, 11-18.
- [12] Feyzi, S., Varidi, M., Zare, F., & Varidi, M. J. (2015). Fenugreek (*Trigonella foenumgraecum*) seed protein isolate: extraction optimization, amino acid composition, thermo and functional properties. *Journal of the Science of Food and Agriculture*, 95(15), 3165-3176.
- [13] Bradford, M. M. (1976). A rapid and sensitive method for the quantitation of microgram quantities of protein utilizing the principle of protein-dye binding. *Analytical Biochemistry*, 72(1-2), 248-254.
- [14] Wu, H. C., Chen, H. M., & Shiao, C. Y. (2003). Free amino acids and peptides as related to antioxidant properties in protein hydrolysates of mackerel (*Scomber austriasicus*). *Food research international*, 36(9), 949-957.
- [15] You, L., Zhao, M., Regenstein, J. M., & Ren, J. (2010). Changes in the antioxidant activity of loach

ترکیب اسیدهای آمینه، درجه هیدرولیز، ویژگی‌های آنتیاکسیدانی و ساختاری بودن. عملکرد هر یک آنزیم‌ها متفاوت بوده و زمان فرآیند نیز تاثیر قابل توجهی دارد. افزایش زمان هیدرولیز با افزایش درجه هیدرولیز و در نتیجه کاهش وزن مولکولی پپتیدها و همچنین آزادسازی انواع اسیدهای آمینه آنتیاکسیدان و آبگریز نقش موثری در افزایش دسترسی ترکیبات زیست فعال نهفته درون ساختار اولیه پروتئین دارد. این تغییرات موجب افزایش واکنش پذیری پپتیدها با انواع رادیکال‌های آزاد و قدرت احیاء‌کنندگی بالاتر دارد. همچنین قابلیت شلاته‌کنندگی یون‌های فلزی پراکسیدان پس از هیدرولیز آنزیمی به شکل قابل توجهی بهبود می‌یابد که این تغییرات بر افزایش نقش سلامتی بخش پروتئین لوبيا سفید پس از هیدرولیز آنزیمی دلالت دارند. در نهایت، بررسی ویژگی‌های ساختاری پروتئین پس از هیدرولیز آنزیمی بیان کننده تغییرات در ساختارهای ثانویه به ویژه در نواحی آمید A، و آمید 1 و 2 است.

5- منابع

- [1] Shahidi, F., & Zhong, Y. (2015). Measurement of antioxidant activity. *Journal of functional foods*, 18, 757-781.
- [2] Sarmadi, B. H., & Ismail, A. (2010). Antioxidative peptides from food proteins: a review. *Peptides*, 31(10), 1949-1956.
- [3] McClements, D. J. (2015). Encapsulation, protection, and release of hydrophilic active components: Potential and limitations of colloidal delivery systems. *Advances in colloid and interface science*, 219, 27-53.
- [4] Ambigaipalan, P., Al-Khalifa, A. S., & Shahidi, F. (2015). Antioxidant and angiotensin I converting enzyme (ACE) inhibitory activities of date seed protein hydrolysates prepared using Alcalase, Flavourzyme and Thermolysin. *Journal of Functional Foods*, 18, 1125-1137.
- [5] Maqsoudlou, A., Mahoonak, A. S., Mora, L., Mohebodini, H., Toldrá, F., & Ghorbani, M. (2019). Peptide identification in alcalasehydrolysed pollen and comparison of its bioactivity with royal jelly. *Food Research International*, 116, 905-915.
- [6] Sarabandi, K., Mahoonak, A. S., Hamishekar, H., Ghorbani, M., & Jafari, S. M. (2018). Microencapsulation of casein hydrolysates: Physicochemical, antioxidant

- [22] Xie, J., Du, M., Shen, M., Wu, T., & Lin, L. (2019). Physico-chemical properties, antioxidant activities and angiotensin-I converting enzyme inhibitory of protein hydrolysates from Mung bean (*Vigna radiata*). *Food chemistry*, 270, 243-250.
- [23] Alashi, A. M., Blanchard, C. L., Mailer, R. J., Agboola, S. O., Mawson, A. J., He, R., ... & Aluko, R. E. (2014). Antioxidant properties of Australian canola meal protein hydrolysates. *Food Chemistry*, 146, 500-50.
- [24] Liu, Q., Kong, B., Xiong, Y. L., & Xia, X. (2010). Antioxidant activity and functional properties of porcine plasma protein hydrolysate as influenced by the degree of hydrolysis. *Food chemistry*, 118(2), 403-410.
- [25] Zhang, M., Mu, T. H., & Sun, M. J. (2014). Purification and identification of antioxidant peptides from sweet potato protein hydrolysates by Alcalase. *Journal of Functional Foods*, 7, 191-200.
- [26] da Rosa Zavareze, E., Telles, A. C., El Halal, S. L. M., da Rocha, M., Colussi, R., de Assis, L. M., ... & Prentice-Hernández, C. (2014). Production and characterization of encapsulated antioxidative protein hydrolysates from Whitemouth croaker (*Micropogonias furnieri*) muscle and byproduct. *LWT-Food Science and Technology*, 59(2), 841-848.
- [27] Poulsen, N. A., Eskildsen, C. E., Akkerman, M., Johansen, L. B., Hansen, M. S., Hansen, P. W., ... & Larsen, L. B. (2016). Predicting hydrolysis of whey protein by mid-infrared spectroscopy. *International Dairy Journal*, 61, 44-50.
- (*Misgurnusanguillicaudatus*) protein hydrolysates during a simulated gastrointestinal digestion. *Food Chemistry*, 120(3), 810-816
- [16] Ahmadi, F., Kadivar, M., & Shahedi, M. (2007). Antioxidant activity of *KelussiaodoratissimaMozaff.* in model and food systems. *Food chemistry*, 105(1), 57-64
- [17] Kong, B., & Xiong, Y. L. (2006). Antioxidant activity of zein hydrolysates in a liposome system and the possible mode of action. *Journal of Agricultural and Food Chemistry*, 54(16), 6059-6068
- [18] You, L., Zhao, M., Cui, C., Zhao, H., & Yang, B. (2009). Effect of degree of hydrolysis on the antioxidant activity of loach (*Misgurnusanguillicaudatus*) protein hydrolysates. *Innovative food science & emerging technologies*, 10(2), 235-240.
- [19] Udenigwe, C. C. (2014). Bioinformatics approaches, prospects and challenges of food bioactive peptide research. *Trends in Food Science & Technology*, 36(2), 137-143.
- [20] Farvin, K. S., Andersen, L. L., Otte, J., Nielsen, H. H., Jessen, F., & Jacobsen, C. (2016). Antioxidant activity of cod (*Gadusmorhua*) protein hydrolysates: Fractionation and characterisation of peptide fractions. *Food Chemistry*, 204, 409-419.
- [21] Li, X., Deng, J., Shen, S., Li, T., Yuan, M., Yang, R., & Ding, C. (2015). Antioxidant activities and functional properties of enzymatic protein hydrolysates from defatted *Camellia oleifera* seed cake. *Journal of food science and technology*, 52(9), 5681-5690.



Effect of time and enzyme type on the structural and antioxidant properties of bioactive peptides obtained from navy bean protein (*Phaseolus vulgaris L.*)

Zeynali Namdar, N.¹, Roufegarinejad, L.^{2*}, Alizadeh, A.³, Jafari, S. M.³, Asefi, N.²

1. PhD, Department of Food Science and Technology, Tabriz Branch, Islamic Azad University, Tabriz, Iran.

2. Associated Professor, Department of Food Sciences, Tabriz branch, Islamic Azad University, Tabriz, Iran.

3. Professor, Faculty of Food Science & Technology, Gorgan University of Agricultural Sciences and Natural Resources, Gorgan, Iran.

ARTICLE INFO

ABSTRACT

Article History:

Received 2022/ 01/ 12

Accepted 2022/ 04/ 04

Keywords:

Enzymatic hydrolysis,
White bean,
Antioxidant activity,
Structural properties,
Amino acid composition.

DOI: [10.22034/FSCT.19.125.23](https://doi.org/10.22034/FSCT.19.125.23)

DOR: [20.1001.1.20088787.1401.19.125.4.3](https://doi.org/10.1001.1.20088787.1401.19.125.4.3)

*Corresponding Author E-Mail:
l.roufegari@iaut.ac.ir

In this study, the effect of enzyme type (alcalase and pepsin) and process time (50-300 minutes) on the degree of hydrolysis and antioxidant indices including free radical scavenging of DPPH, ABTS, hydroxyl, reducing power, and chelating activity of Iron and copper ions were evaluated for navy bean protein(*Phaseolus vulgaris L.*). Also, the composition of amino acids (hydrophobic and antioxidants types) and structural properties (FTIR) of primary protein and hydrolysates were investigated. The results showed that enzymatic hydrolysis improves antioxidant properties. Also, the composition of amino acids has a significant effect on antioxidant activities. On the other hand, the type of enzyme and the time of the hydrolysis process affected the degree of hydrolysis and the antioxidant activity of the hydrolysates. Thus, the highest percentage of free radicals scavenging of DPPH (82.4%), ABTS (58.3%), reducing power (0.97), hydroxyl radical scavenging (57.5%), and chelation of Fe (53.7%) and Cu ions (12.1%) were affected by the type of enzyme and process time. Among different treatments, the highest value of these indices (except copper ion chelating) was related to hydrolysates with alcalase. Structural properties of white bean protein were evaluated and enzymatic hydrolysis caused changes in the amide regions (I and II) as well as exposure to some hydrophobic-buried groups. The results of this study indicated the positive effect of enzymatic hydrolysis on the production of antioxidant hydrolysates that can be used in the food industry.